ИССЛЕДОВАНИЕ ФОТОЧУВСТВИТЕЛЬНОСТИ КОМПОЗИТА НА ОСНОВЕ СЕЛЕНИЛА И СЕЛЕНИТА СВИНЦА

© 2023 г. В. В. Томаев^{1, 2, *}, Т. В. Стоянова², Ю. В. Петров³, В. Ю. Михайловский³

¹Санкт-Петербургский государственный технологический институт, Московский проспект, 26, Санкт-Петербург, 190013 Россия

²Санкт-Петербургский горный университет, 21-я линия, 2, Санкт-Петербург, 199106 Россия

³Санкт-Петербургский государственный университет, Физический факультет, Ульяновская, 1, Санкт-Петербург, 198504 Россия

*e-mail: tvaza@mail.ru

Поступила в редакцию 16.05.2022 г. После доработки 19.05.2023 г. Принята к публикации 08.06.2023 г.

В работе обсуждается технология формирования фоторезистивных соединений на основе композита из селенида и селенита свинца, которые были сформированы путем окисления поликристаллических пленок n-PbSe. Механизм модификации поверхности пленок n-PbSe исследован с помощью сканирующего электронного микроскопа (СЭМ) Zeiss Merlin. Представлены результаты механизма окисления n-PbSe, вместе с их более ранними публикациями, исследована их согласованность между собой. Предложена теоретическая модель (гипотеза) потенциального профиля фоточувствительного гетероперехода, в которой каждый кристалл пленки n-PbSe во время окисления в атмосфере сухого воздуха образует на поверхности сплошную оболочку p-PbSeO $_3$. В данной работе рассмотрена гипотеза о структурной модели фоточувствительного гетероперехода, предложенная другими авторами, на основании механизма окисления, предложенного нами, практически подтверждена в настоящей работе.

Ключевые слова: полупроводниковые пленки, фотопроводимость, селенид свинца, селенит свинца, двухфазный композит, ультрафиолет, оптическое излучение, источник ионов Ga^+

DOI: 10.31857/S0132665122600923, EDN: EKGOHU

ВВЕДЕНИЕ

Материалы, чувствительные к ультрафиолетовому (УФ) излучению, находятся под пристальным вниманием из-за растущей потребности промышленности, медицины, экологии и других сфер деятельности человека в полупроводниковых фотодетекторах для УФ спектра [1–4].

Длинноволновая граница идеального фотодетектора для УФ спектральной области должна соответствовать значению $\lambda = 380$ нм, т.е. коэффициент поглощения света в исходном полупроводнике должен быть как можно меньшим при $\lambda > 380$ нм и как можно большим при $\lambda < 380$ нм [5]. Ведущие научные центры активно работают над разработкой полупроводниковых УФ-светодиодов (СД) и фотодиодов (ФД) на основе наногетероструктур AlGaN с длиной волны излучения от 210 нм [6, 7]. Для производства УФ фотодетекторов также используются соединения III—V (GaP, GaN, AlN, SiC и

т.д.), соединения II—VI цинковые халькогениды, кадмиевые халькогениды, ZnO и алмаз [1—13]. Особый интерес представляют материалы, которые не проявляют чувствительности в видимом диапазоне, но могут проявлять ее в Ψ диапазоне.

Цель настоящего исследования изучение механизма окисления поликристаллической пленки n-PbSe в атмосфере воздуха и получение композита со сплошной оболочкой p-PbSeO $_3$.

ЭКСПЕРИМЕНТАЛЬНАЯ ЧАСТЬ

Для получения более полной картины, связанной с механизмом окисления поликристаллической пленки PbSe в атмосфере воздуха, в качестве исходных материалов для дальнейших исследований были использованы неокисленные образцы *n*-типа PbSe, тип проводимости которых был обусловлен собственными дефектами. Образцы исследовали в виде порошка и пленок, полученных в сходных технологических условиях. Проведенные ранее комплексные исследования по изучению механизма окисления на порошках и поликристаллических пленках показали одинаковый механизм окисления частиц [15, 16].

Пленки n-PbSe толщиной 1-2 мкм были получены путем термического распыления спрессованной из порошка таблетки PbSe, диаметром 6 мм и высотой 3 мм, на стеклянных подложках в вакууме.

Все порошки n-PbSe были приготовлены из объемного слитка синтезированного материала стехиометрического состава путем измельчения в агатовой ступке. Размер зерен порошка был равен 0.5-12 мкм.

Последующее окисление пленок и порошков n-PbSe на воздухе происходило в муфельной электрической печи при температуре 500° C.

Морфология отдельных частиц и пленок *n*-PbSe, как исходных, так и окисленных, были изучены методом сканирующей электронной микроскопии (СЭМ) с использованием микроскопа Zeiss Merlin. Исследование состава образов было выполнено методом энергодисперсионного рентгеновского микроанализа (EDX) с помощью приставки Oxford Instruments INCAX-Act установленной на СЭМ Zeiss Merlin. При проведении исследований как состава, так и морфологии, величина ускоряющего напряжения составляла 10 кВ.

Был использован сканирующий электронный микроскоп (ФИП-СЭМ) Zeiss Auriga с жидкометаллическим источником ионов галлия [17]. Ток ионного пучка составлял величину от 600 пА для этапов быстрого травления, и 20 пА — для полировки поверхности полученных срезов.

ОБСУЖДЕНИЕ

На рис. 1a показана микрофотография поверхности исходной пленки n-PbSe. Видно, что поверхность состоит из отдельных близко расположенных кристаллов кубической формы типичной для PbSe. Размеры кристаллов варьируются в диапазоне 150-200 нм.

На рис. 16 показана микрофотография поверхности пленки n-PbSe, окисленной при температуре 500° C в течение 30 мин. В работах [15, 16, 18] показано, что в приповерхностной области во время процесса окисления каждые два атома Pb и Se присоединяют к себе три атома кислорода, образуя соединение PbSeO₃ на поверхности (оболочке) кристалла PbSe (ядра).

Можно заметить, что поверхность пленки после термообработки в атмосфере воздуха не содержит кристаллы кубической сингонии, но наблюдаются кристаллы другой

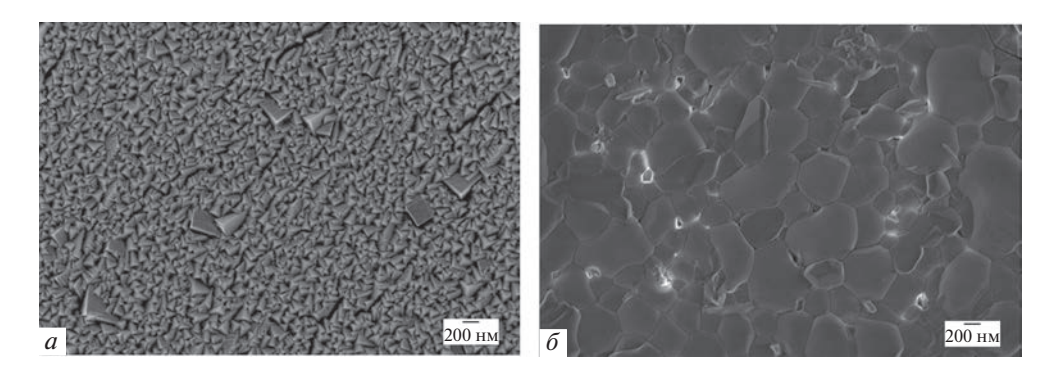


Рис. 1. Морфология поверхностей исходной (a) и окисленной (δ) пленок n-PbSe.

формы. Кристаллы имеют случайную ориентацию, их размер в процессе окисления увеличился в 2-3 раза по сравнению с кристаллами на поверхности исходной пленки (рис. 1a) и имеет диапазон изменения 250-500 нм, что может являться свидетельством окисления пленки по сравнению с исходной.

На рис. 2a и δ представлены спектры рентгеновского излучения по данным микроанализа в указанных областях исходной (Спектр 1) и окисленных (Спектр 2) пленок n-PbSe. Из результатов, приведенных на рис. 2a, следует, что в указанной области пленка содержит преимущественно атомы Pb и Se с небольшим содержанием следов атомов O.

Экспресс-анализ элементного содержания выбранной области (Спектр 1) исходной пленки n-PbSe показал следующие значения: $43 \pm 4\%$ Pb, $44 \pm 5\%$ Se, $10 \pm 6\%$ O. На рис. 2δ показаны результаты рентгеновского спектрального микроанализа поверхности окисленной пленки (Спектр 2), которые указывают, что в выбранной области содержатся атомы свинца, селена и кислорода. Эти атомы в пределах экспериментальной точности измерений соответствуют химической формуле селенита свинца (PbSeO₃) соответственно: $22 \pm 4\%$ Pb, $21 \pm 4\%$ Se, $60 \pm 15\%$ O (для Спектра 2).

Чтобы подробнее изучить механизм окисления n-PbSe, а также экспериментально подтвердить предложенную другими авторами [14, 19] теоретическую модель потенциального профиля фоточувствительного гетероперехода, в которой процесс окисления объяснен с помощью ссылки на предыдущую работу авторов настоящей статьи [15], в работе также исследованы отдельные частицы порошка n-PbSe как в исходном, так и в окисленном состоянии.

Исследование проводили методом ФИП (фокусируемый ионный пучок) микроскопии [17], при котором вначале осуществлялось послойное стравливание нанометровых слоев материала с поверхности для того, чтобы на поперечном срезе исследовать как морфологию, так и элементный состав исходных и окисленных частиц.

На рис. 3a-6 представлены срезы фрагментов зерен исходной пленки n-PbSe, а на рис. 3e-e, окисленные в сухом воздухе при $T=500^{\circ}$ C в течение 10 мин. Режим прецизионного травления образца осуществляли ускоренным до значения энергий 1-30 кэВ пучком ионов галлия.

При этом режим высоких ускоряющих напряжений использовали для быстрого и прецизионного травления образца, а режим низких ускоряющих напряжений использовали для полировки и очистки поверхности после травления.

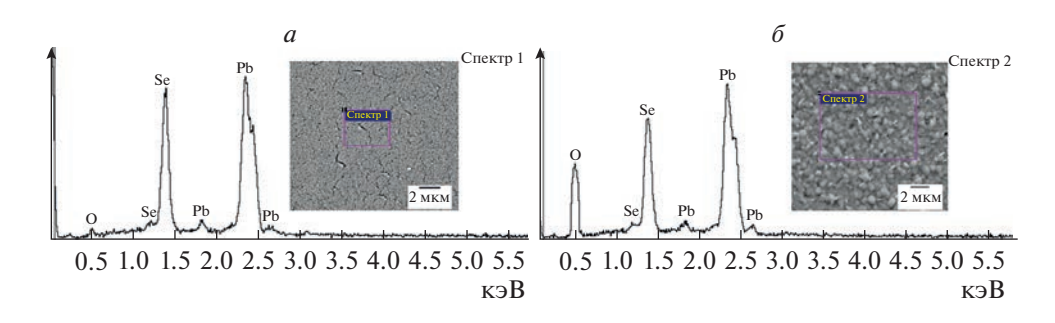


Рис. 2. Элементный состав поверхностей исходной (a) и окисленной (δ) пленок n-PbSe.

На рис. 4 представлен поперечный разрез окисленной при T = 500°C в течение 10 мин частицы n-PbSe, полученный послойным стравливанием слоев ионами Ga^+ . На срезе наблюдается контраст, позволяющий предположить, что состав приповерхностного слоя-оболочки отличается от состава ядра частицы.

На рис. 5a—e, представлены спектры рентгеновского излучения по данным микроанализа в указанных точках, расположенных в середине частицы (Спектр 1), внутри оболочки (Спектр 2) и на поверхности частицы (Спектр 3). Из результатов, приведенных на рис. 5a, следует, что внутри оболочки в указанной области частица содержит преимущественно атомы Pb и Se с небольшим содержанием следов атомов O.

Экспресс-анализ элементного содержания выбранной области (Спектр 1) окисленной пленки n-PbSe (рис. 5a) показал следующие значения: $44 \pm 4\%$ Pb, $45 \pm 5\%$ Se, $10 \pm 6\%$ О. На рис. 56 и 6 показаны результаты рентгеновского спектрального микроанализа внутри оболочки (Спектр 2) и на поверхности частицы (Спектр 3), которые указывают, что внутри оболочки и на поверхности частицы содержатся атомы свинца, селена и кислорода.

Эти атомы в пределах экспериментальной точности измерений соответствуют химической формуле селенита свинца (PbSeO₃) соответственно: $21 \pm 4\%$ Pb, $22 \pm 4\%$ Se, $61 \pm 15\%$ O (для Спектра 2); $20 \pm 4\%$ Pb, $20 \pm 4\%$ Se, $58 \pm 15\%$ O (для Спектра 3).

В настоящей работе на основании рентгеновского микроанализа показано, что все зерна исходных образцов в виде порошка и поликристаллических пленок, состоящие из кристаллов *n*-типа PbSe, после термического окисления содержат оболочку из PbSeO₃, толщина которой может увеличиваться с увеличением времени термообработки.

Результаты работ Хамфри и др. [20-22] свидетельствуют о том, что при термообработке образцов n-PbSe кислородом, серой, селеном и галогенами, они все действуют на материал как акцепторная примесь, вызывая превращение проводимости n-типа в проводимость p-типа. Это приводит к возникновению центров чувствительности для дырочной проводимости (эти центры легко захватывают электроны и характеризуются малой вероятностью последующего захвата дырок) [21].

В другой работе [23] сообщается, что пленки PbSe, окисляясь при температуре 200° C, увеличивали светочувствительность. Максимальная светочувствительность была получена в слабо легированной области p-типа. В этой области время реакции пленки составляло около 200 мкс при температуре жидкого азота. С другой стороны, в области p-типа было замечено после выключения света длительное восстановление фототока.

Этот феномен замедления скорости реакции может быть вызван глубокими ловушками для электронов, возбужденных оптически в *p*-типе пленки, которые обнаружи-

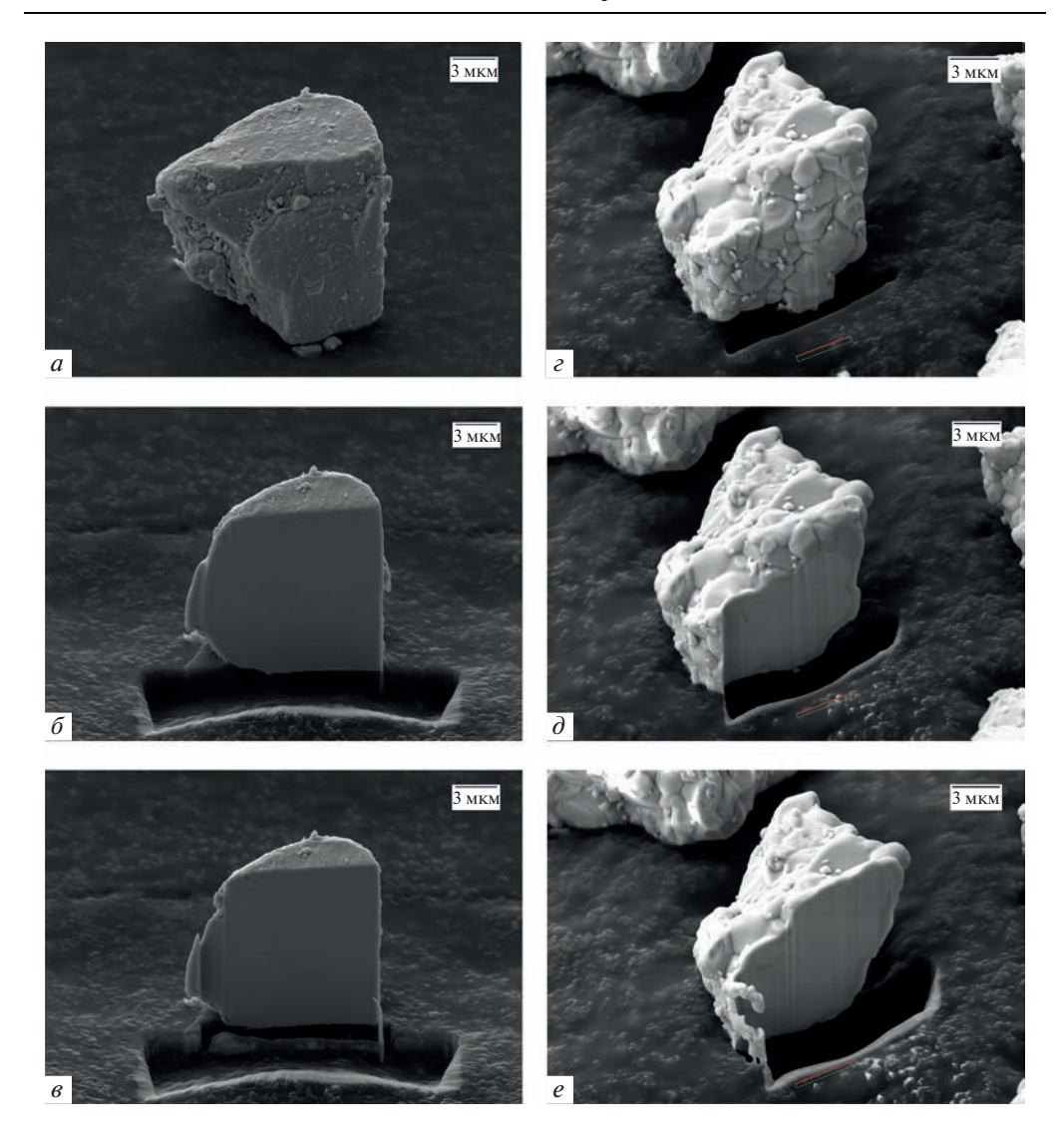


Рис. 3. Микрофотографии послойно стравленных слоев ионами Ga^+ исходной (a, δ, s) и окисленной (ε, δ, e) частиц n-PbSe.

ваются путем измерения термически стимулируемого тока. Глубина ловушек составляла около $0.15 \ {
m 3B}$ ниже дна зоны проводимости.

Область гомогенности для PbSe [24, 25], распространяется почти симметрично и соединение PbSe кристаллизуется со значительными отклонениями от стехиометрии. Собственные дефекты (преимущественно вакансии, хотя не исключаются дефекты по Френкелю) электрически активны. Равновесные концентрации вакансий в подрешетке свинца (акцепторов) и подрешетке селена (доноров) обычно варьируются в диапазоне 10^{18} – 10^{20} см⁻³. Концентрацию носителей заряда до уровня 10^{16} – 10^{17} см⁻³ можно снизить различными технологическими приемами.

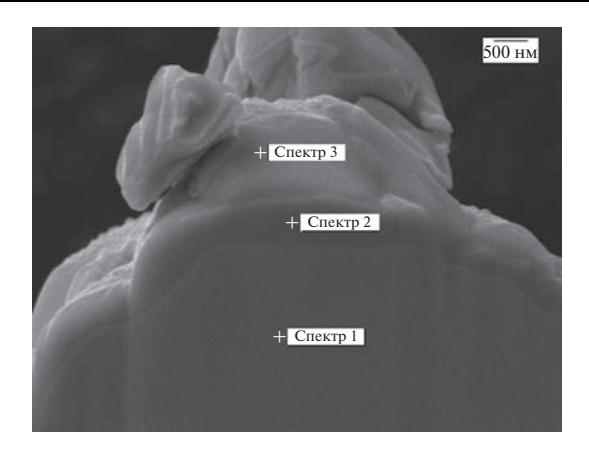


Рис. 4. Микрофотография стравленной ионами Ga^+ окисленной частицы n-PbSe, с указанием мест, где произведен элементный анализ.

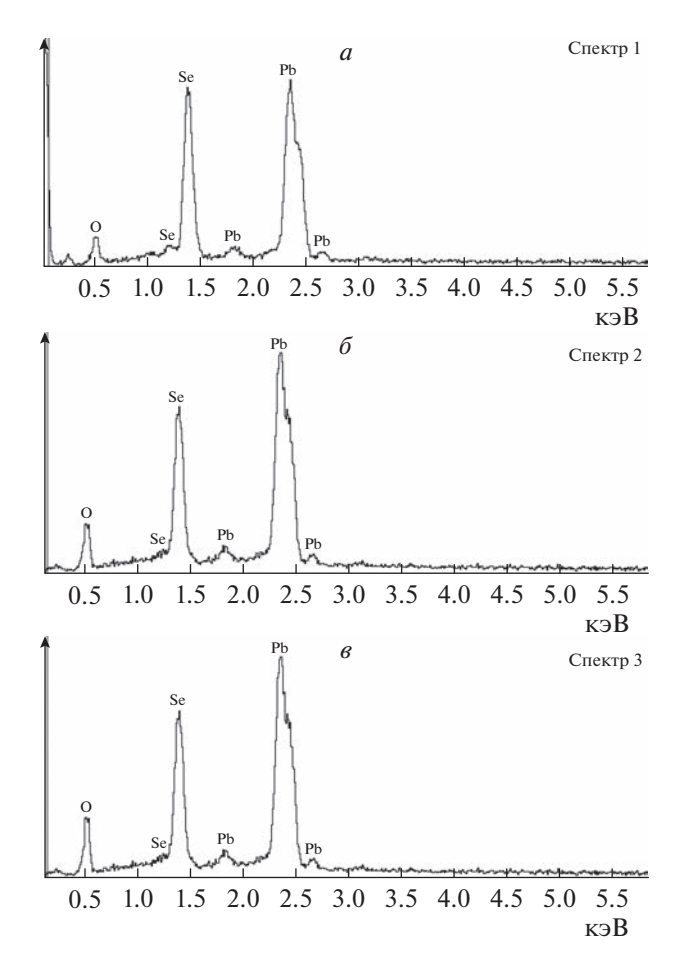


Рис. 5. Элементный состав окисленной частицы в точках в середине частицы (Спектр 1), внутри оболочки (Спектр 2) и на поверхности частицы (Спектр 3).

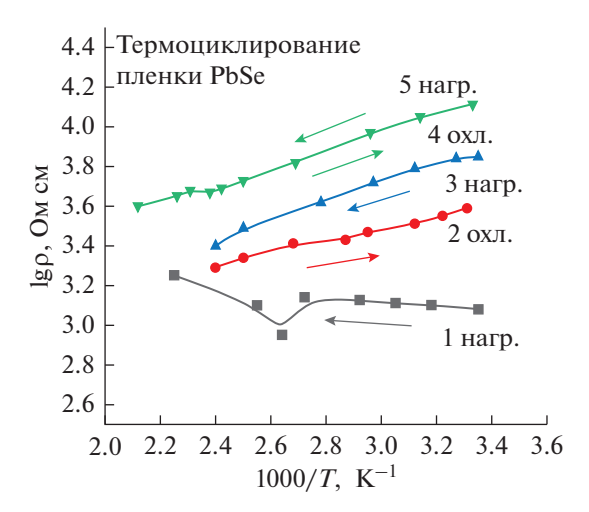


Рис. 6. Зависимость сопротивления на постоянном токе сопротивления пленки от температуры n-PbSe в атмосфере сухого воздуха [15, 16].

На рис. 6 согласно данным [15, 16] представлена зависимость электрического сопротивления пленки n-PbSe от температуры в атмосфере воздуха на постоянном токе. На начальной стадии нагревания (1 нагр., рис. 6) сопротивление пленки плавно возрастает в связи с тем, что акцепторные примеси кислорода являются ловушками для электронов в n-PbSe. При температуре 378 \pm 25 K у пленки появился аномальный скачок сопротивления, который, по всей видимости, связан с наличием фазового перехода. При 443 K выключали печь и пленку исследовали при охлаждении до комнатной температуры (2 охл., рис. 6).

Характер зависимости сопротивления от температуры может объясняться как компенсацией доноров за счет акцепторной примеси кислорода по объему частиц, так и возникновением барьеров на границах отдельных частиц в результате инверсии типа проводимости вблизи поверхности, которая описана в работе [19]. Такое объяснение не учитывает образование $PbSeO_3$, так что может быть справедливым только в начале процесса термообработки.

При повторном нагревании поликристаллической пленки (3 нагр., рис. 6) до 473 К происходит дополнительное увеличение сопротивления, связанное с появлением окисленной фазы на поверхности пленки и на границах зерен. Значение угла наклона, связанного с энергией активации увеличивается. Последующие процессы охлаждения пленки (4 охл., рис. 6) и нагревания (5 нагр., рис. 6) показали, что наклон зависимостей сопротивления от температуры практически не меняется, как и само значение сопротивления. На заключительной стадии термообработки для пленки в атмосфере сухого воздуха в указанном температурном диапазоне дальнейшее окисление практически отсутствует.

Согласно нашим предположениям, слой $PbSeO_3$, образовавшийся на границах зерен PbSe в результате окисления, играет роль потенциального барьера, ограничивающего проводимость. Ширина запрещенной зоны $PbSeO_3$ порядка 3 эB, что на порядок больше, чем в PbSe (рис. 7).

На основании построенных диаграмм, наиболее вероятным механизмом может являться переход дырок из широкозонного материала в узкозонный, поскольку пере-

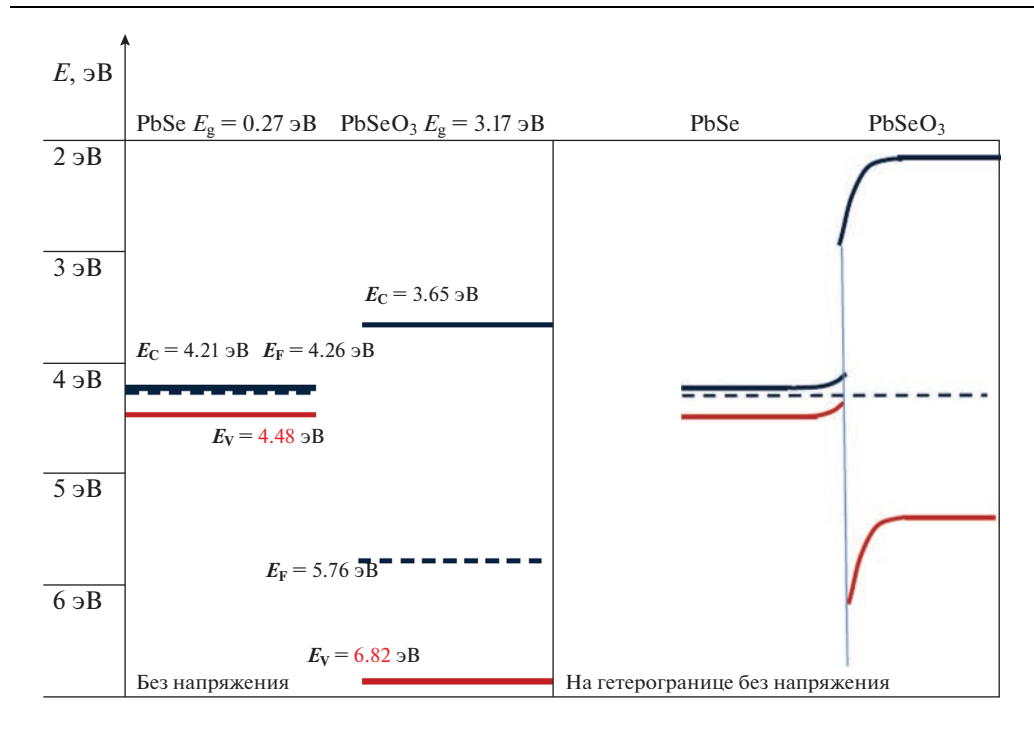


Рис. 7. Схемы энергетических зон, построенные на основании данных работ [14–19].

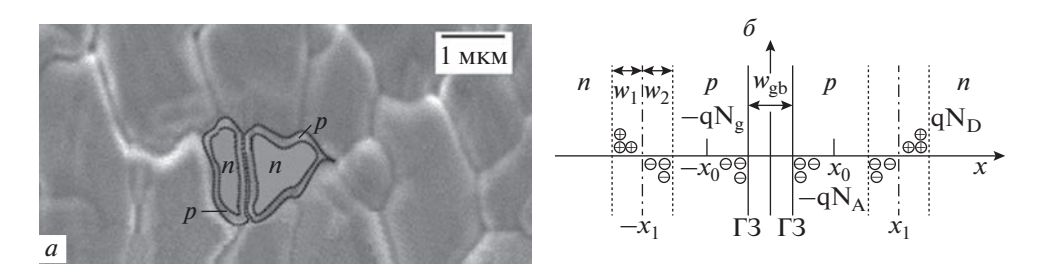


Рис. 8. Гипотеза образования оболочки p-PbSeO₃ на поверхности кристаллов n-PbSe (a) и формирование двойных гетеропереходов, в которых узкозонные зерна n-PbSe заключены в двойные широкозонные оболочки p-PbSeO₃ [14, 19].

ход электронов в широкозонный материал требует большей энергии активации, а их концентрация у границ снижена из-за акцепторной роли кислорода. Вероятнее всего в поликристаллических пленках каждый кристалл пленки n-PbSe во время окисления образует на своей поверхности сплошную оболочку p-PbSeO $_3$. Предложенная авторами [14, 19] на основании механизма окисления [15, 16, 18] теоретическая модель фоточувствительного гетероперехода (см. рис. 8a и δ), в которых узкозонные зерна n-PbSe заключены в двойные широкозонные оболочки p-PbSeO $_3$ из-за термической диффузии O_2 на границе зерна n-PbSe, практически подтверждается в настоящей работе.

Необходимо отметить, что впервые состоятельность теоретической модели, высказанной в работах [14, 19] экспериментально подтверждена в работе [26], где также показано, что пленочные структуры на основе композита селенида свинца и селенита свинца показывают высокую фоточувствительность для компонента $PbSeO_3$ в ближней УФ области (λ_{rp} (уФ) = 0.39 мкм), могут ее показывать в средней инфракрасной (ИК) области спектра для компонента PbSe (λ_{rp} (ИК) = 4.52 мкм), но не в видимом диапазоне.

ЗАКЛЮЧЕНИЕ

В работе получены новые практические результаты исследования окисления поликристаллических пленок PbSe. Каждый кристалл n-PbSe во время окисления образует на поверхности сплошную оболочку p-PbSeO₃.

БЛАГОДАРНОСТИ

Экспериментальные результаты получены с использованием оборудования Междисциплинарного ресурсного центра по направлению "Нанотехнологии" Научного парка Санкт-Петербургского государственного университета.

СПИСОК ЛИТЕРАТУРЫ

- 1. Razeghi M., Rogalski A. Semiconductor ultraviolet detectors // J. Appl. Phys. 1996. V. 79. № 10. P. 7433–7473.
- 2. Zou Y., Zhang Y., Hu Y., Gu H. Ultraviolet Detectors Based on Wide Bandgap Semiconductor Nanowire: A Review // Sensors. 2018. V. 18. № 7. P. 1–25.
- 3. Jia L., Zheng W., Huang F. Vacuum-ultraviolet photodetectors // PhotoniX. 2020. P. 1–25.
- 4. *Liao M.* Progress in semiconductor diamond photodetectors and MEMS sensors //Functional Diamond. 2021. V. 1. № 1. P. 29–46.
- 5. *Blank T.V.*, *Gol'dberg Yu*. Semiconductor photoelectric converters for the ultraviolet region of the spectrum // Semiconductors. 2003. V. 37. P. 999–1030.
- 6. *Taniyasu Y., Kasu M., Makimoto T.* An aluminium nitride light-emitting diode with a wavelength of 210 nanometres // Nature. 2006. V. 441. P. 325–328.
- 7. Shur M.S., Zukauskas A. UV Solid-State Light Emitters and Detectors // Proc. NATO ARW. Series II. V. 144. Ed. by Kluwer, Dordrecht, 2004. 308 p.
- 8. Guo F., Yang B., Yuan Y., Xiao Z., Dong Q., Bi Y., Huang J. A nanocomposite ultraviolet photodetector based on interfacial trap-controlled charge injection // Nature Nanotechnology. 2012. V. 7. № 12. P. 798–802.
- 9. Sang L., Liao M., Sumiya M. Comprehensive Review of Semiconductor Ultraviolet Photodetectors: From Thin Film to One-Dimensional Nanostructures // Sensors. 2013. V. 13. P. 10482–10518.
- 10. Soci C., Zhang A., Xiang B., Dayeh S.A., Aplin D.P.R., Park J., Bao X.Y., Lo Y.H., Wang D. ZnO Nanowire UV Photodetectors with High Internal Gain // Nano Lett. 2007. V. 7. P. 1003–1009.
- 11. Kind B.H., Yan H., Messer B., Law M., Yang P. Nanowire Ultraviolet Photodetectors and Optical Switches // Adv. Mater. 2002. V. 14. P. 158–160.
- 12. *Ji L.W., Peng S.M., Su Y.K., Young S.J., Wu C.Z., Cheng W.B.* Ultraviolet photodetectors based on selectively grown ZnO nanorod arrays // Appl. Phys. Lett. 2009. V. 94. Iss. 20. P. 1–3.
- 13. Yan F., Xin X., Aslam S., Zhao Y., Franz D., Zhao J.H., Weiner M. 4H-Sic UV photo detectors with large area and very high specific detectivity // IEEE Journal of quantum electronics. 2004. V. 40. № 9. P. 1315–1320.
- 14. *Bi G., Zhao F., Ma J., Mukherjee S., Li D., Shi Z.* Modeling of the Potential Profile for the Annealed Polycrystalline PbSe Film // PIERS Online. 2009. V. 5. № 1.
- 15. *Попов В.П., Тихонов П.А., Томаев В.В.* Исследование механизмов окисления на поверхности полупроводниковых структур селенида свинца // Физика и химия стекла. 2003. Т. 29. № 5. С. 686—694.15.
- 16. *Tomaev V.V., Miroshkin V.P., Gar'kin L.N., Tikhonov P.A.* Dielectric properties and phase transition in the PbSe + PbSeO₃ composite material // Glass Physics and Chemistry. 2005. V. 31. № 6. P. 812–819.16.
- 17. Giannuzzi L.A., Stevie F.A. Introduction to Focused Ion Beams. Instrumentation, Theory, Techniques and Practice // Springer New York, ISBN 978-0-387-23116-7.17.

- 18. *Tomaev V.V., Makarov L.L., Tikhonov P.A., Solomennikov A.A.* Oxidation of Lead Selenide // Glass Physics and Chemistry. 2004. V. 30. № 4. P. 349–355.
- 19. Dashevsky Z., Kasiyan V., Radovsky G., Shufer E., Auslender M. Mid-infrared photoluminescence of PbSe film structures up to room temperature // Proceedings of SPIE The International Society for Optical Engineering. 2008. V. 7142. № 11. 14 p.
- 20. Быюб Р. Фотопроводимость твердых тел. М.: Изд. иностранной литературы, 1962. 560 с.
- 21. *Humphrey J.N., Scanlon W.W.* Photoconductivity in Lead Selenide. Experimental // Phys. Rev. 1957. V. 105. №1. P. 469–475.22.22.
- 22. *Humphrey J.N.*, *Petritz R.L*. Photoconductivity of Lead Selenide: Theory of the Mechanism of Sensitization // Phys. Rev., 1957. V. 105. № 6. P. 1736–1739.
- 23. *Yasuoka Y.*, *Wada M*. Thermally Stimulated Current of Vacuum Deposited PbSe Films // Japanese Journal of Applied Physics. V. 13. № 11. P. 1797–1803.
- 24. Абрикосов Н.Х., Банкина В.Ф., Порецкая Л.В., Скуднова Е.В., Шелимова Л.Е. Полупроводниковые соединения, их получение и свойства. М.: Наука, 1967. 176 с.
- 25. *Равич Ю.И.*, *Ефимова Б.А.*, *Смирнов И.А.* Методы исследования полупроводников в применении к халькогенидам свинца PbTe, PbSe и PbS. М.: Наука, 1968. 383 с.
- 26. *Tomaev V.V., Egorov S.V., Stoyanova T.V.* Investigation into the Photosensitivity of a Composite from Lead Selenide and Selenite in UV Region of Spectrum // Glass Physics and Chemistry. 2014. V. 40. № 2. P. 208–214.